

5. Januar 1944. Mi/Le.

(6)

T-438

Über das Absitzen des fein verteilten Kontakts an der Ofenwandung bei der Schaumfahrweise (Kohlenwasserstoffsynthese).

Wie schon in früheren Berichten mitgeteilt wurde¹⁾, macht sich bei der Ausführung der Kohlenwasserstoffsynthese aus Kohlenoxyd und Wasserstoff nach der Schaumfahrweise allmählich eine eigentümliche Erscheinung bemerkbar, die man eine Flucht des Kontakts auf dem Sumpf nennen könnte. Es bildet sich mehr und mehr ein fester, im wesentlichen aus Kontakt bestehender Ansatz an der Ofenwandung aus, dessen Stärke von unten, wo sie gering ist, nach oben wächst. Der Beleg hatte im oberen Ofenteil während dreier Monate bei einer Raumweite von 50 cm eine Dicke von 5 cm erreicht. Die gleiche Erscheinung tritt im Entgasungstopf auf. Sie ist unerwünscht, weil sie einen Teil des Kontakts seiner Bestimmung entzieht und den vorliegenden Reaktionsraum verkleinert.

Als Hilfe wurden Rührergestänge eingebaut, die die Flächen, an denen ein Ansatz möglich ist, bestreichen. Das sind im Ofen die Zylinderwand und der obere Boden, im Entgasungstopf die Geflechtwand und der innere Absitztopf (s. Figur 1). Um ein Abstreichen der Wand des Entgasungstopfes zu ermöglichen, wurde nicht mehr wie bisher das Ausgangsrohr des Entgasungstopfes seitlich, sondern möglichst zentral nach unten herausgeführt. Die Wandung des Absitztopfes wurde ebenfalls bestrichen (Fig. 2).

Mittels Kegelräder wurden die Rührerwellen von Ofen und Entgasungstopf von einem Motor angetrieben und in langsamer Umdrehung gehalten. Die dauernde Bewegung der Rührer ist zwar, wenn man nur den Ansatz verhindern will, nicht nötig. Es wurde deshalb früher nur gelegentlich gerührt. Die winzige Verstärkung des Ansatzes, die sich innerhalb einiger Stunden bildet, lässt sich ohne Kraftaufwendung abstreifen. Allein es zeigte sich, dass nach dem gelegentlichen Rühren stets ein Leistungsanstieg erfolgte, der sich an der Zunahme der Kohlensäure im Endgas um einige Prozent zu erkennen gab. Aus diesem Grunde wurde zur dauernden Rührung übergegangen, obwohl dies eine starke Beanspruchung der Stopfbüchsen bedeutete.

Als Grund dieser Erscheinung wird angenommen, dass im unteren Teil des Ofens durch Abregnen sich eine lockere Kontaktbildung bildet, die durch die Rührerbewegung wieder aufgewirbelt wird.

Wenn nun auch die Rührer die Flächen, die sie bestrichen, freihielten, so war damit das Übel nicht restlos behoben. Denn das Rührergestänge selbst bietet ja auch Gelegenheit zum Kontaktbildung, wenn auch in sehr viel kleinerem Maße als die Ofenwand selber. Es bräuchte also eine weise Vorrichtung, die den Rührer sicher hält. Über auch hier würde wieder ein Rest bleiben, an dem ein Ansatz erfolgte, der jedoch wahrscheinlich unbedeutend sein und nicht ändern würde. Es wurde jedoch in dieser Richtung kein Versuch gemacht, da die Apparatur unverhältnismässig kompliziert wurde.

1) siehe Bericht vom 24.11.43 und 18.2.43

Nach dreimonatiger Inbetriebnahme führte der am Führer gebildete Ansatz auch tatsächlich zu einer Betriebsstörung. Die Leistung liess nach und der Sumpfumlauf wurde gestört. Der Ofenausbau ergab, dass unten im Ofen ein Gewirr von Ansatzstückchen 50 cm hoch lag, die ein Hindernis für den Sumpfumlauf bildeten und die Gasverteilung durch den Schaumstein verschlechterten. Die innere Gestalt dieser Bruchstücke verriet deutlich ihre Herkunft von Gestängen des Rührers. Sie waren namentlich am oberen Teil des Rührers gewachsen, zerbrachen im Stücke, wenn sie eine gewisse Stärke erreicht hatten und fielen Verab auf den Schaumstein. Die Bruchstücke zeigten einen schichtigen Aufbau.

Die Bilder 3-5 zeigen Photographien des aus dem Ofen herausgezogenen und hingelagten Rührers. Wie sich deutlich erkennen lässt, nimmt die Stärke der Ansätze nach oben zu.

Der Rührer des Entgasungstopfes, der erst 6 Wochen lief, zeigte praktisch überhaupt noch keinen Ansatz. Eine gewisse Ansatzstärke wäre zu erwarten gewesen. Ob die im Entgasungstopf herrschenden Verhältnisse der Ansatzbildung am wenigsten günstig sind, kann noch nicht gesagt werden.

Der Kontaktansatz zeigte deutliche Schichtenbildung und hatte eine so grosse Festigkeit, dass er durch die im Ofen herrschenden Flüssigkeitsströmungen nicht zerstört werden konnte. Der Hauptanteil bildete Eisen in verschiedener Form als Karbonat, Carbid, und metallisches Eisen. Das gesamte Eisen betrug 43 - 48 % des Ansatzes, alles als metallisches Eisen gerechnet. Der Anteil war nicht zu einem Preis schmelzbar, während ein Sumpf mit neuem Kontakt und gleich hohem Eisenanteil bei 20° schon scheinlich flüssig war.

Der im vorliegenden Falle verwandte Kontakt war durch eine bei 450° erfolgende Reduktion der Eisenerze, das aus Eisenoxydul gewonnen und mit 2 % gelöster Borax angereichert war, und durchfolgendes Karbonieren unter Witterndl erhalten. Es wurde eine Verteilung von 2/4 erreicht, die sich durch Fortsetzung der Mühlung nicht mehr weiter verfeinern ließ. Der Reduktionsgrad¹⁾ des in grossch. Eisen reduzierten Kontakts betrug 50-60 %, während in den kleinen Ofenpfannen, wo es möglich war, mit grossem Wasserstoffüberschuss zu arbeiten, bis zu 85 und 90 % reduziert werden konnte.

Das in Mittelöl, das der Synthese entstammt, suspendierte Eisen wird im Ofen eingeprägt, wo es sich im Sumpf der in der Hauptsoße aus hochschmelzendem Paraffin besteht, verteilt. Es setzt sich, wenn im Sumpf keinerlei Bewegung herrscht, der Schwere folgend wohl ab, aber es bildet an senkrechten Flächen keine Ansätze. Es war daher überraschend, dass unter den Bedingungen der Synthese solche Kontaktabsätze, die nicht durch die Schwere verursacht sind, sich tatsächlich bilden.

So wie schon gesagt, doch hauptsächlich im oberen Teil des Ofens die Kontaktabscheidung stattfindet. Da der Sumpf kontinuierlich mit einer Geschwindigkeit von etwa 3 Minuten umläuft, so ist seine Geschwindigkeit oben und unten ~~im Ofen~~ ^{im Sumpf} gleich. Ausserdem ist es über mit dem Gas. Es tritt unten als Frischgas ein und entsteht

1) Die Bestimmung geschah nach der Methode von Willmer und Kunkel.

neben CO und H₂ nur etwa 2 % N₂. Während es nach oben geht, verschwindet je nach der Fahrweise bis zu 80 % des Frischgases und seine Stelle treten Reaktionsprodukte, nämlich einige Prozent Kohlenwasserstoffe, Wasserdampf und volumenmäßig als Hauptprodukt Kohlensäure.

Gaszusammensetzung bei 71 % Umsatz:

Mittangas = Endgas (wie es den Ofen verlässt)

CO	55	25
H ₂	43	25
N ₂	-	7
H ₂ O	-	6
CO ₂	-	33
N ₂ O	2	4

Wenn der Dampf im Entgasungstopf nicht vollständig entzogen, so wird ein Teil des Endgases mit dem zurückkehrenden Dampf wieder unten in den Ofen eintreten und man wird dann auch unten schon statt reinen Frischgases eine gewisse Menge CO₂, H₂ und Kohlenwasserstoffdampf haben, aber ihre Konzentration wird auch jetzt wieder nach oben stark zunehmen. Das bedeutet, dass die Reduktionskraft des Gases nach oben stark abnimmt.

Bei der Kohlenoxyd-Wasserstoff-Reaktion wird Wasserstoff vom Kohlenoxyd an Wasserstoff unter Bildung von Wasser oder an anderem Kohlenoxyd unter Bildung von Kohlensäure abgespalten. Diese Reaktion erfolgt katalytisch und zwar offenbar unter Bildung von Eisenoxyd als Zwischenstufe. D.h. Kohlenoxyd bildet zunächst mit seinem O ein Eisenoxyd und mit seinem O ein Eisenoxyd. Das letztere wird von Wasserstoff unter Wasserbildung reduziert, wobei das Wasser sich nach der Wasserstoffreaktion weiter mit Kohlenoxyd zu Kohlendioxid und Wasserstoff umsetzen kann. Bei Verwendung von Eisen als Katalysator hat überwiegend diese Folgereaktion statt, sodass in Allgemeinen bedeutend mehr CO₂ als H₂O austritt.

Die Reduktion des entstandenen Eisenoxyds findet aber weniger leicht statt, je ungünstiger die Verhältnisse Wasserstoff-Kohlenoxyd sind. Wenn das letztere einen gewissen Wert unterschreitet, der bei 4-6 liegen dürfte, so wird im Gegen teil nicht nur kein Eisenoxyd mehr reduziert, sondern umgekehrt das entstehende Eisen von Wasserstoff oxydiert.

Im oberen Ofenteil, in dem eine beträchtliche Menge Wasserdampf enthalten ist, sind die Reduktionsbedingungen für das Eisenoxyd ungünstig. Durch die Gegenwart von ziemlicher Kohlemarke ist Gelegenheit gegeben, dass sich unter Vermittlung von Wasserdampf das Eisenoxyd zu Eisenkarbonat umgesetzt.

Die Tabelle enthält Analysen von arbeiteten Proben und deren Reaktionsprodukt. Bei letzterem fällt der hohe Gehalt an Eisenkarbonat auf (Spalte 3 und 5) im Gegensatz zum vollständigen Eisen (Spalte 1). Fehler ist der Anteil an Eisen mit Eisen, das allein nur katalytisch wirksam sein kann, nicht durchgerechnet.

Es liegt nun die Frage nahe, ob Eisenoxyd und Eisenkarbonat die beiden doch den plausibelsten Ansatzen bilden, besonders wenn zur Spaltung Bildung von CO und CO₂ vorerst an der Wand liegen.

bleiben oder ob der umlaufende Kontakt, einerlei welcher Art das Eisen ist, sozusagen wahllos festklebt.

Zunächst ist es auffällig, dass die Ansatzbildung im Ofen unmittelbar zurückgeht, je mehr man nach unten kommt. Man könnte versucht sein anzunehmen, dass unten vom Umlauf her noch mehr Bewegung im Sumpf sei, und dass höhere Geschwindigkeit der Ansatzbildung entgegenwirkt, zeigt die Tatsache, dass im Umlaufrohr, in dem die Rumpfgeschwindigkeit etwa zehnmal höher als im Ofen ist, sich keinerlei Ansatz nachweisen lässt. X

Es sind Versuche im Glasmodell gemacht worden, das zu einem 3 m hohen & cm weiten Rohre bestand, die mit H_2 gefüllt war, in das unten durch einen Schamotteinsatz Gas eingeschoben wurde. Es zeigte sich nun, dass keineswegs die Blaschen mit gleichmässiger Geschwindigkeit hochfliegen, sondern dass sich starke Flüssigkeitssströmungen ausbilden, wobei die eine Strömung hochsteigt, während eine andere nach unten sinkt und die letztere kompensierte. Es bildete sich eine Art Flüssigkeitsszyklone aus.

Diese Tatsache lässt sich wohl so verstehen, dass der einzigste Fall einer ruhenden Flüssigkeit mit dirin gleichmässig hochstiegenden Gasbläschen wohl möglich, aber solch ein System instabil ist, denn sobald eine nur geringe Flüssigkeitssbewegung über den Schamotteinsatz verläuft, wird das H_2 ungleichmässig mit Gasbläschen beladen, es wird verschieden schwer, die leichteren Anteile steigen auf und die schwereren sinken ab.

Man kann in den Frischrohren nicht hineinrutschen, aber es lässt keinerlei Zweifel vor, dass die Verhältnisse in seinem inneren untere liegen. Das lässt aber den Schluss zu, dass die Flüssigkeitssbewegungen überall im Ofen gleich stark sind, wie für jede unterschieden den gegenwärtigen Zustand gleichmässig, der von der unten einströmenden Umlaufszeitigkeit herrührt, dagegen keine Rolle spielt.

Zur Erklärung des im oberen Ofenteil bevorzugten Ansatzbildungsbleibt nun nur noch die dort herrschende Tröpfchen- und Wasserdampfkontraktion. Es fragt sich nun, hat der Kontakt im oberen Ofenteil entsprechend der Menge des Gasgemisches ebenfalls eine größere Wärmeübertragung, bedingt er dort etwas mehr als 100°C und Wasserdampfdruck, wie dies z. B. negativ zu beantworten, wie eine auf die Herstellung eines Sumpfes läuft am Tage ist, dann ist der darin enthaltene Dampf zu erwarten, im Tage etwa das gleiche Gewicht an Wasserdampf transportiert damit rund das gleiche Gewicht Sauerstoff vor O_2 und CO_2 oder ein anderes CO . Selbst wenn wir annehmen wollten, dass unterhalb gebildete Tröpfchen eine längere Lebensdauer wägen, berücksichtlich die Tröpfchenprecipitate, die könnte in einem bewegten von unten nach oben, durchaus noch nicht einmal zu vermieden werden, ergibt sich, dass die Kontaktzeit ihrer Entfernung im Ofen überall praktisch dieselbe ist und dass daher dieser Unterschied, die nur durch den von unten nach oben zunehmende Wasserdampfdruck hervorgerufen ist, wobei nicht unterscheiden werden kann, ob beide in gleicher Weise mitwirken.

Auffällig ist auf jeden Fall, dass der Kontakt gewissermaßen auf diese Bewegung übertragen wird, wenn durch den Wasserdampfdruck eine Kontraktion eintritt. Die letztere steht in demselben Zusammenhang mit der Geschwindigkeit. Die letztere steht in demselben Zusammenhang mit der Geschwindigkeit. Die Geschwindigkeit ist etwa 5 cm/sec. und ist in der Richtung, die Durchflussrichtung also nicht doppelt so viel den Wert g von g auf g , bzw. doppelt

aus dem Sumpf flüchtet.¹⁾ Wenn er sich unselbsttiv absetzt, so hat er ja dann genügend Zeit mittels des dort herrschenden Wasserdruckes sich stärker zu oxydieren und Karbonat zu bilden. In diesen Falle könnte man annehmen, dass der Kontakt unten wie oben sich zwar gleichmäig einstellt, dass aber das eben sich bildende Eisenoxyd und Karbonat der lösenden Kraft des Sumpfs mehr widersteht, während der untere Ansatz wieder, wenn auch nur teilweise, abgelöst wird.

Ungeklärt ist nur, was die einzelnen Kontaktkörner einandermittet. Dann selbst wenn kleine Kristallite vorliegen sollten, so bilden diese eben doch ein Sediment und es muss, wie die Beispiele in der Natur zeigen, eine verkitte Substanz zugesogen sein, der Ansatz enthält ja mehrere Prozent organische Substanz.

Diese Substanz wurde mit heißem Nylol extrahiert und das verbleibende Feste mit HCl zum Zwecke der Auflösung des Eisens behandelt. Es sondieren sich deutliche Spuren einer öigen Rüttelschicht ab, die nach Fettsäuren roch. Naturscheinlich waren diese Fettsäuren an Eisen gebunden. Herr Dr. Bueren verarbeitete 1 kg des Oiersatzes. Es gelang ihm aber nicht, eine Alkoholuntersuchung aufzufinden, somit dies aber nicht bewiesen, dass keine Fetteubstanz vorhanden ist, dann um eine Verkitte herbeizuführen, genügen ja schon winzige Mengen.

Wenn der Oiersatz unter Öl vermauert wird, zeigt er wieder metallische Eigenschaften. In Spalte 4 der Tabelle ist ein solches Produkt aufgeführt. Es ist das Produkt der Spalte 2, das nach der Vermahlung in Öl in einem Leborofen gefahren worden ist. Nach 2 Std. ist das Eisenkarbonat weitestgehend abgebaut und zu Eisen reduziert. Der hohe Reduktionsgrad von 60% entspricht dem in anderen überprüften ermittelten Zahlen. Die Leistung erreichte eine Kohle, die sie von mittelguten neuen Kontaktten erhalten würde.

Wie hieraus hervorgeht, sind die Veränderungen, die der Kontakt erleidet, unkenntbar, hierbei ist zu bemerken, dass bei Regeneration des Kontakttes das Gas solange der Kontakt noch nicht arbeitet, jungfräulich bleibt und eine hohe reduzierende Kraft besteht. Aber auch hierüber hinaus gilt für unsere Kleinversuche, dass sie aus Gründen mit grossem Ausdauerungsgrad gefeuert werden müssen, wobei sich natürlich das Gas nicht so wohl wie im großen Ofen ansetzt. Hieraus erklärt sich auch der hohe Reduktionsgrad von 60%.

Um Kleinöfen wurde das Ansetzen von Kontakt und Kontaktottet. Allerdings konnte es ausserordentlich wie im Ofen nicht gefahrden. Die Temperatur wird aber darin zu suchen sein, dass die Gase bei einem Durchgang nicht so weitgehend reduziert werden.

Die ähnliche Verhältnisse machen sich im Ofen nicht, da mit dem Gas über eine schwachere Wirkungskraft. Auch der Kontakt im Ofen dabei abgeschieden wird, die Einwirkung ist gewiss etwas schwächer, wieder jungfräulich und neu kann mit großer Wirkungsdauer dort Ofen gehen, ohne einen ungewöhnlichen Ausdauerungsgrad zu benötigen. Die ersten Versuch wird jetzt zu geführt werden. Vielleicht kann an der Ansatz auf einen Punkt oft mehr als einem Teil zurückgedeutigt werden.

1) Vgl. die Arbeit von Dr. Michael Sch. Ehrmann, gez Michael Sch. Ehrmann
1.) Wie vergleiche damit die leichtere oder schwierigere Lösung des Eisens in
1. bis von Kupfer.

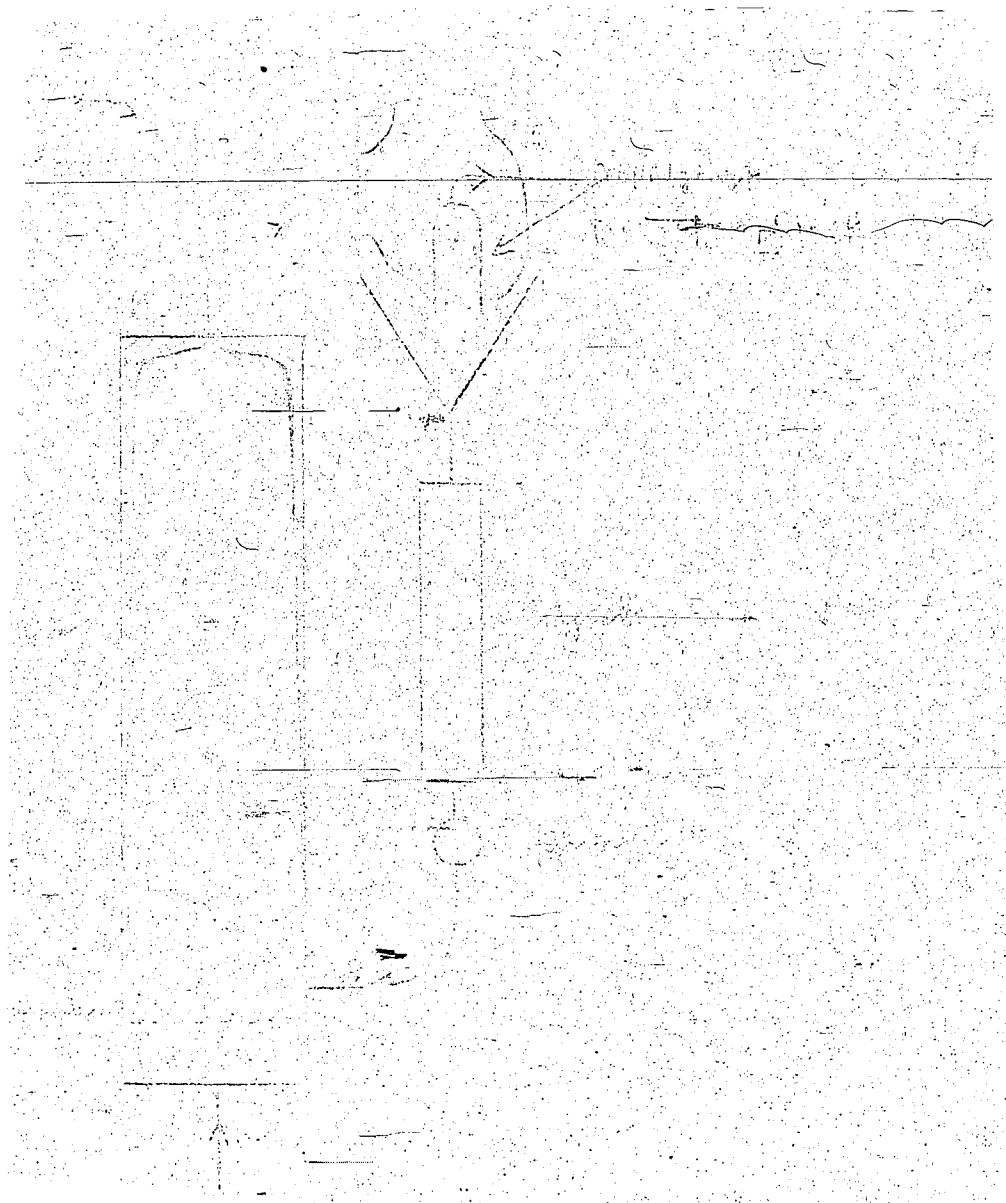
Tabelle

Über die Ausführungssetzung von Kontakt und Ofenzausbau.

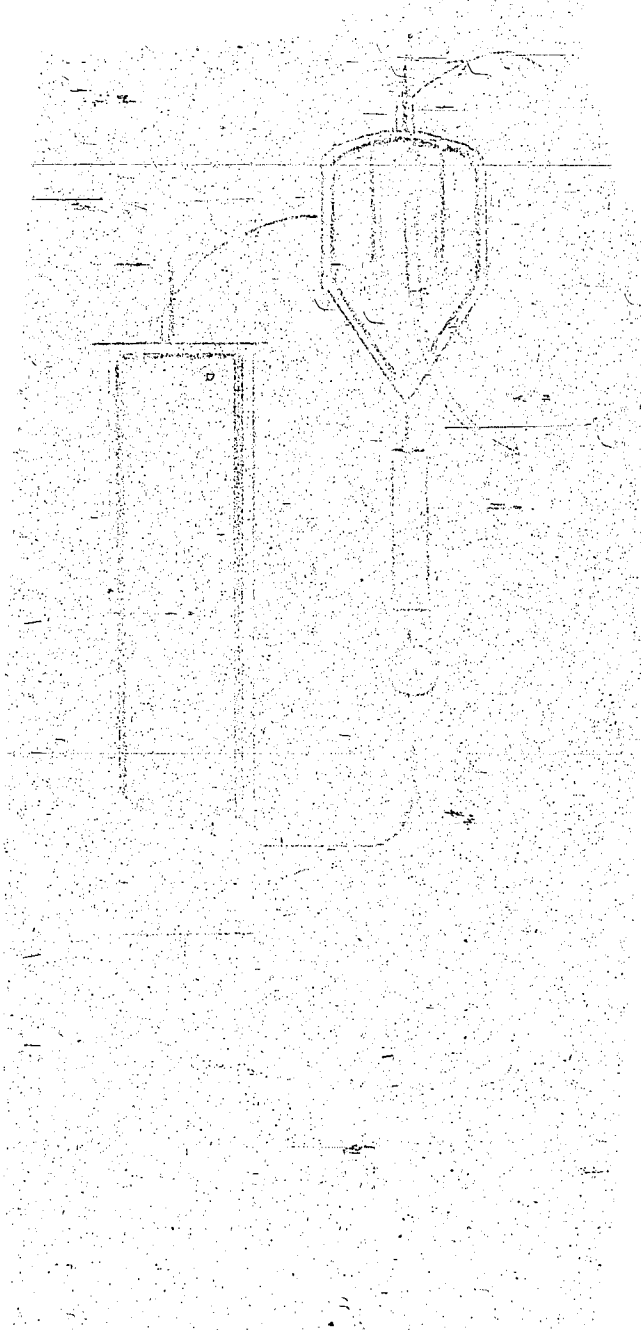
	Kontakt aus Fein- zumpf u. Notbrechlt.	Ausatz extrahiert (die der Ofenwand aufliegende 3 mm- Schicht) 1)	Ausatz extrahiert (die darauf folgende 3 mm-Schicht)	Ausatz ⁴ /wie Spal- te 2) 2 Tage im Labor gefahren
Geült. Fe. eingesetzt	77 %	65,4 %	53,3 %	80,0 %
Fe metallisch	26 %	10,6 %	3,6 %	48,0 %
Reduktionsguss	33 %	16,0 %	5,7 %	60,0 %
Fe freigeschnitten	24 %	11,0 %	13,0 %	2,0 %
C 3	6,3 %	29,0 %	24,0 %	5,3 %
Voroxid 2)	cf %	1,1 %	0,25 %	2,8 %

1) Die der Ofenwand unmittelbar aufliegende etwa 3 mm starke Schicht ist härter als die mehr nach innen
zu liegenden Teile.

2) Nach neueren Arbeiten dürfte ein Voroxid als Fe₃C vorliegen. Setzt man dies in die obige Tabelle ein
und bringt der rund 1 % betragenden Borangehalt in Abzug, so erhält man für das verbleibende Fe₃C Werte
von 21-25 %. Freier Kohlenstoff wurde nicht gefunden. Salzid war nur in Spuren feststellbar.



203



260

T-438

Fig. 3
Reactor Mixer
(upper end at left)

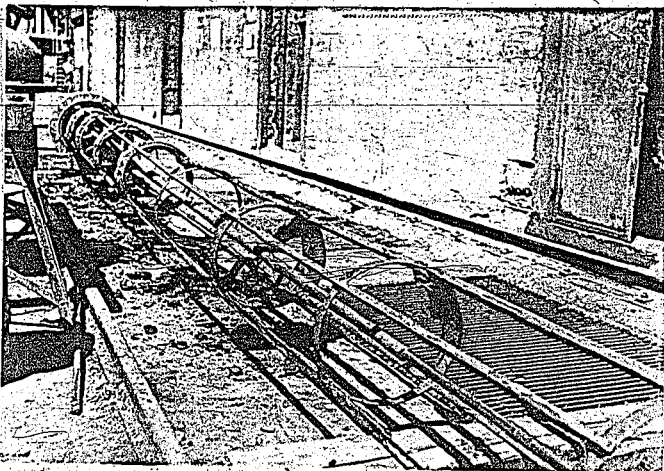


Fig. 4
Upper end of
Mixer

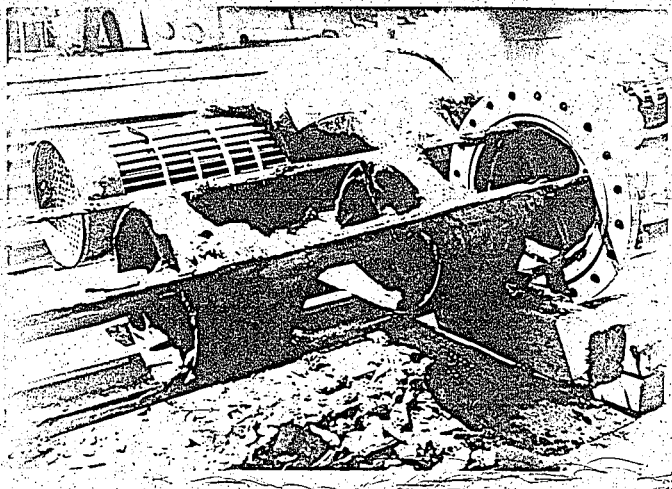
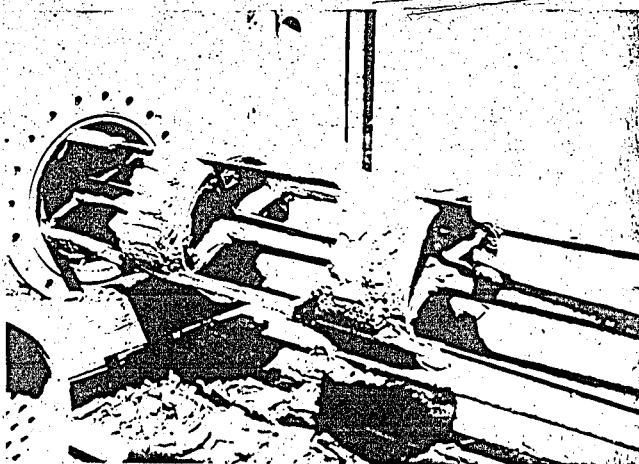


Fig. 5
Upper end of
Mixer



UNITED STATES
DEPARTMENT OF THE INTERIOR
BUREAU OF MINE'S
OFFICE OF SYNTHETIC LIQUID FUEL
LOUISIANA, MISSOURI

From Dr. M. Pier's files

11-458

W. M. Sternberg
January 15, 1948

High Pressure Experiments
Leuna

January 5, 1948

ML/WS —

THE DEPOSITION OF THE FINELY DIVIDED CATALYSTS ON THE
REACTOR WALLS IN THE FOAM PROCESS (HYDROCARBON SYNTHESIS)

It has already been stated in previous reports,*
which hydrocarbons are synthesized from carbon monoxide
and hydrogen using the foam process, a peculiar phenomenon
is observed which may be called the disappearance
of the catalyst from the liquid phase. More and more
of the solid deposit is found on the reactor walls
consisting principally of catalyst, and its thickness
increases steadily until it is almost tangent to the
~~the~~ reactor walls. The thickness of 5 cm in the
catalyst bed was recorded the first time at the end of the
operating period of the reactor after three months operation
in a tube system as shown. A similar phenomenon has
been observed in the apparatus tested. It is believed
because the thickened mass of the catalyst soon performs
the function of the original catalyst in the reaction
space.

*See volumes of 111-458 (1-458) and 11-458-15 (1-458)

207a

A remedy stirrer structure was built which scrapes the surfaces on which deposits may form. These are the top and the cylinder walls in the reactor and the cylinder wall and the walls of the inner settling pot of the degasifier vessel (see figure 1). The outlet tube of the degasifying top was no longer placed to a side but as far as possible centrally and lower down to permit scraping the wall of the degasifier. The walls of the settling pot were also scraped (figure 2).

The stirrer shafts of the reactor and degasifier were driven by a motor with conical drives which were kept at a slow revolution. A continuous operation of the stirrer is, however, unnecessary merely to prevent the formation of the deposit. For that reason it was occasionally used at first. The minute deposit formed in the course of a few hours can be scraped off without using up much power. It has been found, however, that after the occasional stirring the yield was invariably somewhat increased, as manifested in the increase by several percent in the carbon dioxide content, and this was the reason for changing over to continuous stirring in spite of its resulting in a great strain on the stuffing boxes.

These phenomena leads one to assume that loose catalyst was gradually collected in the lower part of the reactor, and this loose catalyst was again dispersed by the action of the stirrer.

The trouble was not entirely overcome by having the stirrer keep the scraping surfaces clean. The stirrer structure in itself offers a chance for deposition of the catalyst, even though in much smaller amounts than on the reactor walls. An additional arrangement was required to maintain this stirrer clean. However, in this case some deposit would form on the additional installation, which would probably be in this case insurmountable and would not cause any disturbances. No tests of it have, however, been made because the apparatus was becoming much too complicated.

The deposit formed on the stirrer actually caused disturbances in operation after three months from the start. The yields began to drop and the liquid-phase circuit was interfered with. Dismantling of the reactor showed that a tract of deposit pieces was formed in the reactor below height of 50 cm, and the interference taken and made very difficult and caused interruption in the first separation of the gas.

through the foam plate. The outward appearance of these pieces showed distinctly their origin from the stirrer support. They have grown chiefly on the upper part of the stirrer, broke up after reaching a certain thickness and then fell down upon the foam plate. The broken pieces showed a layer structure. Figures 3 and 5 are photographs of a mixer withdrawn from the reactor. One may clearly see that the thickness of deposits increases towards the top.

The degasifier mixer operated only six weeks and showed no deposits whatsoever. A certain thickness of deposit was to be expected. We cannot as yet say whether conditions existing in the degasifier are less favorable for the deposition on the stirrer support.

The catalyst deposit showed a distinct layer formation and was sufficiently strong not to be destroyed by the liquid currents inside the reactor. The principal constituents were different forms of iron, such as the carbonate, oxide, carbide and metallic iron. The total iron amounted to 43 - 49 percent of the deposit, calculated as metallic iron. The deposit could not be fused to a paste, while the liquid phase with new catalysts with an equally high proportion of iron became rather thin-flowing at 120°C. in the liquid phase.

The catalyst used in the present gas was obtained by reduction at 450°C of red iron oxide obtained from iron carbonyl, pasting with 2-percent dissolved borax followed by grinding under middle oil. A particle size of 2M has been obtained, and could not be further reduced by additional grinding. The reduction (determined by the method of Villner and Merk) of the catalyst produced in large furnaces amount to 50 - 60 percent, while in the small laboratory furnace, where operations could be conducted with a large excess of hydrogen a reduction of 85 - 90 percent could be obtained. The iron was suspended in the middle oil obtained by synthesis and forced into the liquid phase which consisted principally of high melting paraffins. If the liquid phase is not stirred it settles out as a result of its gravity, but no deposits are formed on the vertical surfaces. It was therefore surprising that these catalyst deposits were formed under conditions of synthesis and were not caused by gravity.

It has already been stated that the upper part of the reactor has the greatest deposition of the catalyst. The liquid is being continuously circulated at a rate of once every three months, and its composition is practically the same at the top and in the bottom of the reactor. Gas, however, behaves differently.

It enters from below as the fresh gas and contains only about 2 percent N_2 in addition to CO and H_2 . As it rises, up to 80 percent of the fresh gas disappears, depending on the method of operation, and is replaced by the reaction products, including several percent of hydrocarbons, steam, and carbon dioxide as the principal product by volume. Composition of gas with 7% percent conversion:

Inlet Gas		Eff. Gas (as it leaves the reactor)
CO	55	25
H_2	45	25
Hydrocarbon	-	7
H_2O	-	6
CO_2	-	33
N_2	2	1

If the liquid phase does not leave all of its gas in the degassifier, some of the said gas is returned to the bottom of the reactor with the returning liquid phase, and in that case certain amounts of CO_2 , H_2O and hydrocarbon vapors are present even at the bottom instead of the pure fresh gas, but their concentration must be strongly increased the way up. This means that the resulting hydrocarbons if they are greatly reduced on the way up.

Oxygen or carbon monoxide having oxygen from the carbon monoxide - hydrogen mixture react with the

207f

formation of water or else carbon monoxide by interaction with a second molecule of carbon monoxide. This reaction proceeds catalytically, and evidently with the formation of an iron oxide as an intermediate stage, i.e. carbon monoxide will first form iron carbide with its carbon and an iron oxide with its oxygen. The latter is reduced by hydrogen with the formation of water, and the water can further interact with carbon monoxide according to the water-gas reaction with formation of carbon dioxide and hydrogen. When such catalysts are used, the second reaction is the principal one, so that in general more CO_2 than H_2O is formed.

The reduction of the iron carbide formed proceeds definitely with less favorable proportion of hydrogen: steam. When the latter becomes less than a certain value, probably around 3 - 5, no more iron carbide will be reduced but converted, metallic iron will be oxidized by steam.

Analyses of the catalyst used in the reactor deposits are given in the table. The compounds and constituents with a high content of iron carbide (column 4 and 5), are reduced first. In the resulting iron carbide (column 3), there is incorporation of metallic iron, which adds to the relatively brittle, ie. greatly 2079 reduced. The result is the iron carbide

and iron carbonate, which both form the principal constituents of the deposit have a particularly strong tendency for deposition and are therefore preferentially deposited on the walls, or whether the circulating catalyst adheres so to say unselectively regardless of the form the iron is in.

It is first of all striking, that the deposit formation is retarded in the reactor the lower down one looks. It might be assumed that there is more motion in the liquid phase below as a result of its circulation, and that the higher velocities hinder the formation of deposits, for no deposits could actually be proven in the actual circulation tube in which the liquid phase velocity is approximately ten times higher than in the reactor.

Experiments in glass models have been made. They consisted of a tube 5 m high and 8 cm wide, filled with oil, with the gas forced in at the bottom through foam plates. The bubbles have been found to move with very different velocities and strong liquid flow disturbances formed, with one of the currents rising upward while another one was moving downward and compensating the former. There was formed a sort of liquid turbulence.

We may understand it by considering a system with quiescent liquid containing uniformly distributed rising

207 h

gas bubbles as being unstable, because as soon as a slight motion of liquid over the foaming stone is produced, the oil becomes non-uniformly loaded with gas bubbles, and the rate of rise of the particles differing in gravity will be different, and the heavier ones will sink.

One cannot peek into the pressure reactor but there are no grounds to assume that conditions in them are any different. This causes us to draw the conclusion that the motion of liquids throughout the reactor are as strong as could be seen in the model and the added velocities resulting from the circulating liquid entering from below are of no importance.*

The formation of deposits in the upper part of the reactor can be explained only by the increasing concentration of carbon dioxide and steam. The question arises whether the catalyst in the upper part of the reactor has throughout a different composition depending on changes in the composition in the gas mixture, and whether it contains more of iron oxide and iron carbonate. This question must be answered in the negative as proven by simple consideration. The liquid phase is

* This motion is superimposed upon the velocity of circulation by the liquid phase circuit, in the direction of which the liquid phase velocity of 10 cm/sec. is indicated. The turbulence velocity should be greater on the reactor 5 cm/sec.

changed over some 500 times during a day. The catalyst in it produces about the same weight of products during the day and carries therefore about the same amounts of oxygen from CO to H_2 or to another CO. Even if we are to assume that the FeO formed as an intermediate has a longer life, which contradicts all the facts, the proportion of the FeO could not be increased even by 1 percent during the movement up from below. As a result the composition of the catalyst in the reactor is practically uniform and the cause for the disturbances may be found in the amounts of carbon dioxide and steam which increase during the passage through the reactor, without our being able to decide whether both of them are equally active.

The disappearance of the catalyst from the tube is nevertheless surprising in many cases.² If it settles non-selectively, it will then have sufficient time to become heavily coated with the circulating steam which has to be removed. One might assume in this case that the catalyst is uniformly deposited in the lower part of the reactor, but this is inconceivable in a furnace with a high degree of selectivity to the decomposing nitrate of the alkali, while the alkali is present in the steam. One may best imagine the catalyst forming first with steam and then being washed with oil.

207j

-13-

TAKE 1

the deposit is at least partially loosened in the bottom part.

The sticking together of the different catalyst particles remains unexplained. Even if one were to deal with crystallites, a sediment should form only in the presence of some adhesive substance, as shown by examples in nature. The deposit contains several percent of organic substance. This organic substance can be extracted with hot nylol, and the remaining solid treated with HCl to dissolve the iron. Definite traces of an oily liquid will be found, and they smell like fatty acids. These fatty acids were probably in combination with iron. Dr. Werner has worked up 1 kg of the reactor deposit. He has failed to find any adhesive material in it. This fails to prove, however, that no adhesive is present, because minute amounts are sufficient to cause sticking.

If the reactor deposit is ground enough it will again exhibit catalytic properties. Such a product is shown in column 4. It is the reactor product in column 3, which was treated in a laboratory reactor after being ground in a 3. The iron catalyst is largely broken down, but large amounts remain. The high reduction value of 63 percent is in agreement with the other values obtained in laboratory columns. The reduction value of 50% is from column 3, which

207k

new catalysts of average quality.

We must conclude therefore the changes in the catalysts are reversible. It is to be noted that in the reactivation of the catalyst the gas remains unchanged as long as the catalyst is still inactive, and the reducing power of the gas remains high.

We must qualify this statement, however, for our laboratory tests, in that they are carried out for another reason with a large gas throughput, which will naturally prevent conversion of the gas to the same extent as in the large reactors. This explains also the high reduction value of 60 percent.

Deposits of catalysts has not been observed in laboratory experiments. Operations could not, however, be conducted as trouble - free as on a large scale. The principal trouble probably was in that the gas was not sufficiently converted in one pass.

Similar conditions can be also created on a large scale when the gas is returned through a carbon dioxide wash. Steam then is also eliminated, and the return gas is to a certain extent similar to the original gas and one may operate with a large throughput through the reactors without having to consider an insufficient conversion of the gases. This test is at present being conducted. This may permit reducing the conversion to a practically irreducible point.

/s/ Michael
Heppner

207L

The Composition of the Catalysts and the Reactor Deposits

	Catalyst from the liquid phase after two months	The extracted deposit adhering to the converter wall)	Extracted deposit (the outer 30 mm layer)	Deposit (the same as in column 2) treated for two days in the laboratory
Total iron content	77%	65.4%	63.3%	80.0%
Methanolic iron	26%	10.0%	3.6%	48.0%
Reduction	75%	16.0%	5.7%	60.0%
CO ₂ liberated	2.4	11.0%	13.0%	4.0%
Fe ₃ C	5.5%	29.0%	54.2%	5.2%
C as carbide (%)	0.1%	1.1%	0.25%	2.6%

- 1) The 3 mm layer adhering to the reactor wall is harder than the parts further away from the wall.
- 2) According to more hours of work the carbide may be present as Fe₃C. Were this introduced into the table and taking into consideration the borax content, amounting to about 1 percent, the Fe₃C value would be 20 - 65. No free carbon has been found. Only traces of sulfide have been found.

20/00

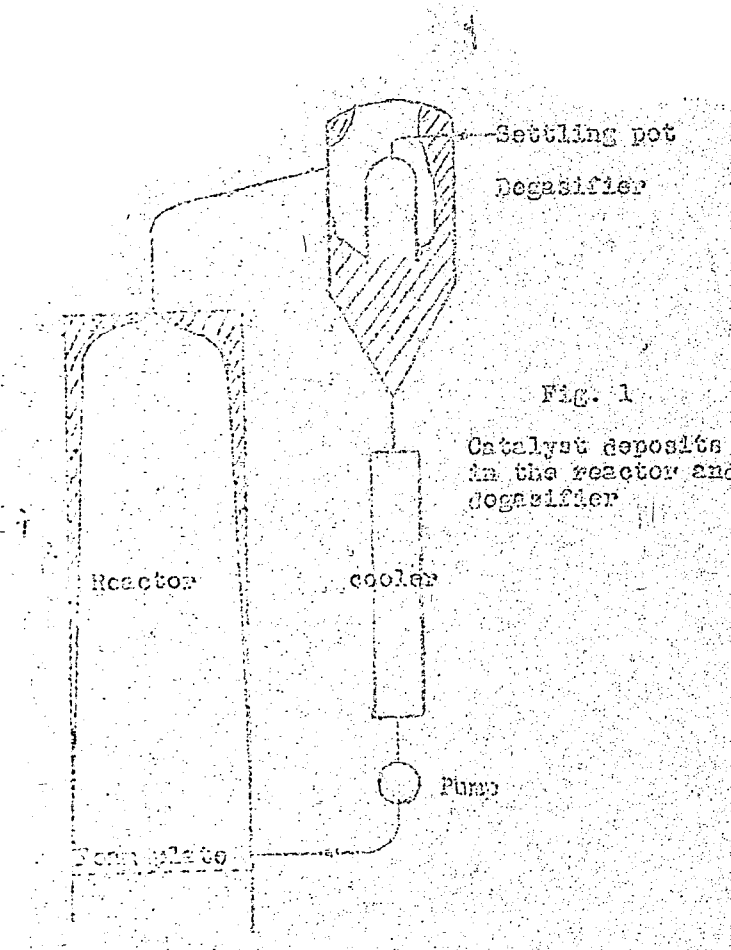


Fig. 1
Catalyst deposits
in the reactor and
degasifier

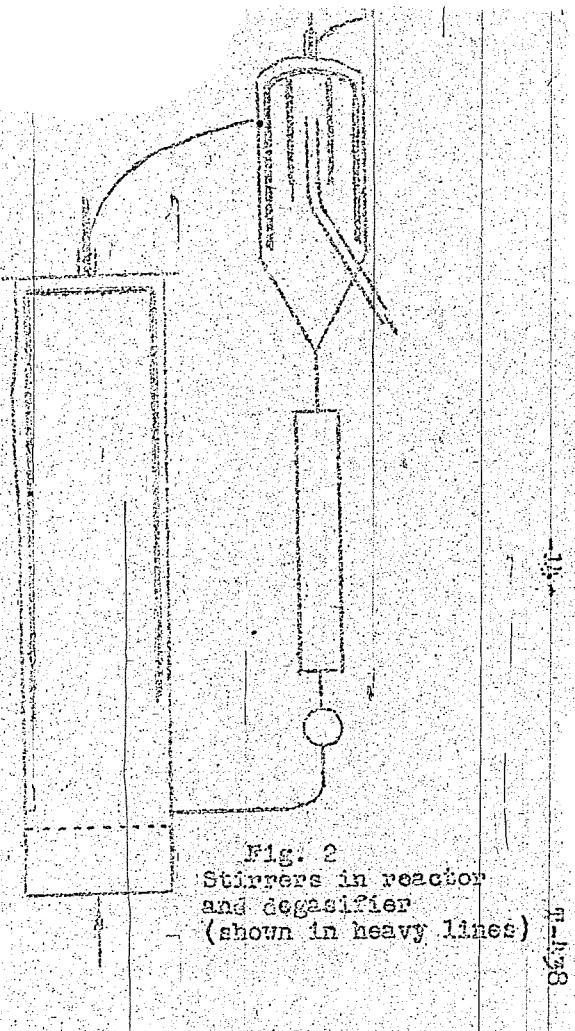


Fig. 2
Stirrers in reactor
and degasifier
(shown in heavy lines)

T-438

Bild 3.

Rührer aus dem Ofen
(links oberes Ende)

Fig. 3

Reactor Mixer.
(upper end at left)

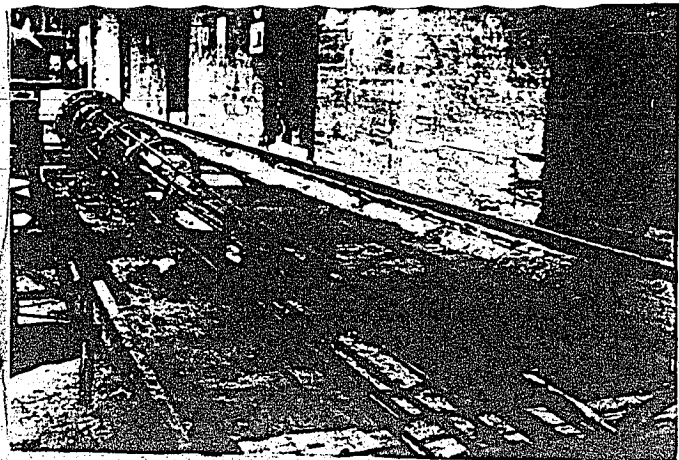


Bild 4

Unterer Wärteil

Fig. 4

Upper end of
mixer

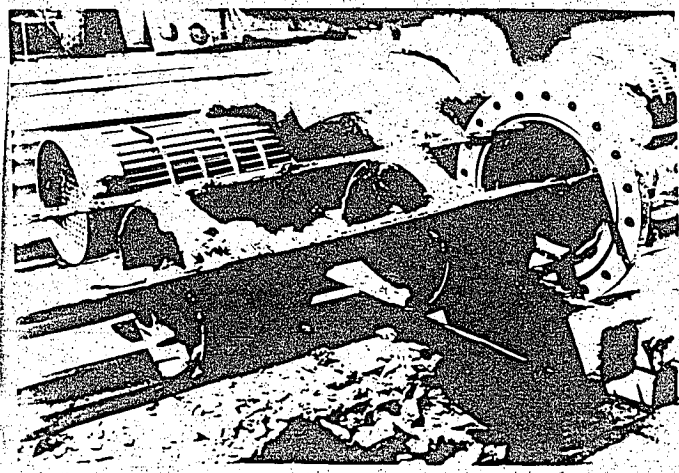


Bild 5

Unterer Wärteil

Fig. 5

Upper end of
mixer

